

Determining the Concentration, Seasonal Changes and Shelf Life of Natural Radioactive Particles in the Air of Tehran

Sh. Ghorbani, A. Saeidi, B. Oroji*

Abstract

One of the most important challenges of nuclear accidents is the release and suspension of radioactive particles in the atmosphere. Knowing the behavior of these particles in the atmosphere will optimize management and subsequent decisions of unforeseen events. Using natural radioactive particles as environmental tracers to study atmospheric pollutants is one of the key and important studies in conducting atmospheric research. In order to determine the concentration of Pb-210, Bi-210 and Po-210 radionuclides, as well as to estimate the residence time of radioactive particles, sampling was done on a monthly basis from November 1400 to October 1401 in Tehran. The samples were taken by a high volume sampling pump with an average flow rate of 1.5 cubic meters per minute with a time interval of 6 to 12 hours and were prepared and counted in the Atomic Energy Organization. The results of the monthly average concentration of radionuclides show that the highest measured value for Pb-210 was 1.25 mBq/m³ in October. The average annual concentration for this parameter was around 0.89 mBq/m³, and its lowest value was recorded in April with a value of 0.42 mBq/m³. The results showed a relative increase in the concentration of this variable for April and May and a relative decrease for September and December. The average measured concentration for the variable Po-210 in the whole period was about 0.058 mBq/m³. Also, 0.095 mBq/m³ in December is the highest concentration and 0.032 mBq/m³ in January is the lowest value measured for this radionuclide. The same trend was observed for Bi-210 with an overall average of 0.42 mBq/m³ for the period under review. The highest and lowest values measured for this radionuclide in the entire study period were 0.85 and 0.18 mBq/m³, respectively. According to the obtained results, based on Pb-210/Po-210, the average residence time of suspended particles was estimated to be 20.1 days. Based on this, July with an average of 22.5 days and January with an average of 17.8 days were estimated as the maximum and minimum length of stay measured in this research work. The obtained results can help in formulating the release and inhalation scenarios of radioactive particles caused by nuclear accidents.

Key Words: *Radioactive Particulate Matter, Atmospheric Residence Time, Particle Activity, Concentration, Tehran Air*

This article is an open-access article distributed under the terms and conditions of the Creative Commons Attribution (CC BY) license.

Publisher: Imam Hussein University



*Researcher, Faculty and Research Institute of Civil Engineering, Water and Energy, Imam Hossein University, Tehran, Iran.
(balaloroji@yahoo.com) -Writer-in-Charge

نشریه علمی پدافند غیرعامل

سال چهاردهم، شماره ۴۰، زمستان ۱۴۰۲ (پیاپی ۵۵)؛ صص ۵۹-۴۹

علمی - پژوهشی

تعیین غلظت، تغییرات فصلی و مدت زمان ماندگاری ذرات

پرتوزای طبیعی در هوای تهران

شهاب قربانی^۱، علی سعیدی^۲، بلال اروجی^{۳*}

تاریخ دریافت: ۱۴۰۲/۰۲/۰۳

تاریخ پذیرش: ۱۴۰۲/۰۵/۱۰

چکیده

یکی از مهم‌ترین چالش‌های حوادث هسته‌ای میزان انتشار و تعلیق ذرات پرتوزا در اتمسفر است. اطلاع از رفتار این ذرات در جو مدیریت و تصمیمات بعدی از انفاقات پیش‌بینی نشده را بهینه‌تر خواهد کرد. استفاده از ذرات پرتوزا طبیعی به عنوان ردبایب‌های محیطی برای مطالعه آلاینده‌های اتمسفری یکی از مطالعات کلیدی و مهم در انجام تحقیقات اتمسفری است. برای بررسی تعیین غلظت رادیونوکلئیدهای سرب ۲۱۰، بیسموت ۲۱۰ و پلونیم ۲۱۰ و همچنین تخمین زمان اقامت برای کل ذرات معلق پرتوزا به صورت ماهانه از آبان ماه ۱۴۰۰ الی مهرماه ۱۴۰۱ در شهر تهران نمونه‌برداری صورت گرفت. نمونه‌ها توسط پمپ نمونه‌بردار حجم بالا با دبی متوسط $1/5$ مترمکعب در دقیقه با بازه زمانی ۶ تا ۱۲ ساعت انجام و در سازمان انرژی اتمی آماده‌سازی و شمارش شدند. نتایج میانگین ماهیانه غلظت رادیونوکلئیدها نشان می‌دهد که بیشترین مقدار اندازه‌گیری شده برای سرب ۲۱۰ در مهرماه با $1/25$ mBq/m³ بود. متوسط غلظت سالیانه برای این پارامتر در حدود $0/89$ mBq/m³ بود که کمترین مقدار آن در فروردین‌ماه با مقدار $0/42$ mBq/m³ ثبت شد. نتایج نشان از افزایش نسبی در غلظت این متغیر برای فروردین و اردیبهشت‌ماه و کاهش نسبی برای شهریور و دی‌ماه بود. میانگین غلظت اندازه‌گیری شده برای متغیر پلونیم ۲۱۰ در کل دوره حدود $0/058$ mBq/m³ بود. همچنین $0/095$ mBq/m³ در آذرماه به عنوان بیشترین غلظت و $0/032$ mBq/m³ در دی‌ماه به عنوان کمترین مقدار اندازه‌گیری شده برای این رادیونوکلئید است. همین روند برای بیسموت ۲۱۰ نیز با میانگین کلی $0/42$ mBq/m³ برای دوره بررسی مشاهده شد. بیشترین و کمترین مقدار اندازه‌گیری شده برای این رادیونوکلئید در کل دوره بررسی به ترتیب $0/85$ و $0/18$ mBq/m³ بود. طبق نتایج به دست آمده بر مبنای سرب ۲۱۰ / پلونیم ۲۱۰ / میانگین زمان اقامت ذرات معلق $0/020$ روز تخمین زده شد. بر این اساس تیرماه با میانگین $0/022$ روز و دی‌ماه $0/017$ روز به عنوان بیشترین و کمترین زمان اقامت اندازه‌گیری شده در این کار پژوهشی تخمین زده شد. نتایج به دست آمده می‌تواند در تدوین سناریوهای انتشار و استنشاق ذرات پرتوزا ناشی از حوادث هسته‌ای کمک نماید.

کلیدواژه‌ها: ذرات معلق پرتوزا، زمان اقامت اتمسفری، اکتیویته ذرات، غلظت، هوای تهران



* این مقاله یک مقاله با دسترسی آزاد است که تحت شرایط و ضوابط مجوز Creative Commons Attribution (CC BY) توزیع شده است.

نویسنده‌گان (C)

ناشر: دانشگاه جامع امام حسین (ع)

^۱ کارشناسی ارشد پژوهشکده پدافند غیرعامل، دانشگاه جامع امام حسین(ع)، تهران، ایران،

^۲ دانشیار پژوهشکده پدافند غیرعامل، دانشگاه جامع امام حسین(ع)، تهران، ایران

^۳ پژوهشگر پژوهشکده پدافند غیرعامل، دانشگاه جامع امام حسین(ع)، تهران، ایران (balaloroji@yahoo.com)- نویسنده مسئول

۱- مقدمه

تحقیقاتی از شرایط حساسی برخوردار بوده و داشتن اطلاعات مهم و اساسی در مواجه با بحران‌های طبیعی و انسانی با موضوع انتشارات هسته‌ای امری ضروری و حیاتی محسوب می‌شود. یکی از ویژگی تحقیقات انجام شده در این زمینه محدود بودن تعداد ایستگاه‌های نمونه‌برداری است. در پژوهشی جیا و جیا (۲۰۱۴)، به بررسی زمان اقامت ذرات اتمسفری در منطقه جنوب ایتالیا با توجه به نسبت سرب ۲/۲۱۰/پلونیم ۲۱۰ پرداخته‌اند. آن‌ها غلظت این دو ذره در نمونه‌های برداشت‌شده در تورنتو را برای ماه نومبر ۲۰۰۸ و ماه مه ۲۰۰۹ اندازه‌گیری و غلظت سرب ۲۱۰ بین $11/9$ mBq/m³ تا 122 mBq/m³ و غلظت پلونیم ۲۱۰ را بین 300 mBq/m³ تا $1/5$ اعلام کردند. آن‌ها همچنین نسبت غلظت سرب ۲۱۰/پلونیم ۲۱۰ در این منطقه را بین $0/273$ تا $1/174$ اندازه‌گیری و مدت زمان اقامت ذرات معلق در اتمسفر منطقه مورد مطالعه را بین $49/7$ تا $8/89$ روز تخمین زدند.

رام و سارین (۲۰۱۲)، به بررسی غلظت سرب ۲۱۰ و پلونیم ۲۱۰ و نسبت سرب ۲۱۰/پلونیم ۲۱۰ ذرات اتمسفری در هند پرداخته و غلظتها را در حدود $1/8$ mBq/m³ تا $0/94$ mBq/m³ اندازه‌گیری کردند. تنوع زمانی فعالیت و غلظت سرب ۲۱۰ در ماههای نوامبر، دسامبر، اکتبر و فوریه بیشتر از سایر ماههای سال است. آن‌ها این تغییرات را مرتبط به تولید گازهای گلخانه‌ای در منطقه دانستند [۶]. لونگبو (۲۰۱۳)، در پی حادثه فوکوشیما به بررسی تغییرات غلظت ذرات پرتوزا در چین پرداخته و برای این کار از سزیم 137 ، سزیم 134 و ید 131 و گاز رادیواکتیو زونون (^{133}Xe) استفاده کردند. آن‌ها میزان این ذرات در لایه‌های مختلف منطقه شیان چین را اندازه و به مقادیری که از حد استاندارد چین بیشتر بود، رسیده بودند [۷]. کریستودایس و همکاران (۲۰۱۴)، با یک مطالعه کلی در سطح جهانی و یک مطالعه موردنی در نواحی شرق مدیترانه به بررسی ارزیابی پراکنش اتمسفر ذرات پرتوزا در نواحی که اتفاقات هسته‌ای رخ می‌دهد، پرداخته‌اند. آن‌ها از سزیم 137 و ید 131 به عنوان ذرات پرتوزا نحوه پراکنش و حمل و نقل آن‌ها را مورد بررسی و لایه‌هایی از اتمسفر که غلظت‌های این دو را بیش از سایر لایه‌ها نشان می‌دهد را مشخص کردند [۸]. فام و همکاران (۲۰۱۳)، نهشت خشک و مرطوب از بریلیوم ۷، سرب ۲۱۰ و سزیم 137 در فرانسه را در طول یک دوره با در نظر گرفتن تغییرات فصلی مورد بررسی قرار دادند. نتایج نشان داد که تغییرات زمانی غلظت بریلیوم ۷، سرب ۲۱۰ و سزیم 137 در طول فصولی از سال متفاوت است. این تغییرات برای بریلیوم ۷ و سرب ۲۱۰ در فصل پاییز بیشتر از فصل بهار و برای فصل زمستان کمتر از فصل بهار و برای فصل تابستان میزان غلظت پایین‌تر از تمام فصول بوده و برای سزیم 137 در فصل بهار بیشتر از فصل پاییز و در فصل

بر اساس گزارش سازمان جهانی بهداشت سالانه در سراسر جهان حدود هفت میلیون نفر برادر بیماری‌های منتسب به آلودگی هوای، جان خود را از دست می‌دهند [۱]. همچنین بر اساس گزارش مؤسسه بین‌المللی تحقیقات سرطان (IARC) در سازمان جهانی بهداشت در سال ۲۰۱۳، آلودگی هوای بهویژه ذرات معلق به عنوان ترکیبات سلطان‌زا برای انسان (گروه یک) طبقه‌بندی شده است [۲]. در بسیاری از شهرهای بزرگ کشور، از جمله تهران، کرج، اصفهان، مشهد، تبریز، اراک، اهواز و شیراز، در اغلب روزها غلظت برخی از آلاینده‌های هوای از استانداردهای ملی به مرأت بیشتر است و برآورد می‌شود که با احتساب پدیده ریز گردها، جمعیتی بالغ بر ۳۵ میلیون نفر، یعنی حدود کمتر از نیمی از جمعیت کل کشور در معرض درجاتی از آلودگی هوای قرار داشته باشند. این مشکل نه تنها سلامت مردم را به مخاطره می‌اندازد، بلکه هزینه‌های بالایی را نیز بر حوزه سلامت تحمیل می‌کند؛ آن‌هم به دلیل افزایش نیاز به خدمات مراقبتی و بهداشتی و انجام فوریت‌های پژوهشکی که برای جمعیت تحت تاثیر انجام می‌شود [۳].

بر اساس آمار منتشرشده از سوی سازمان بهداشت جهانی سلامت بسیاری از افراد جامعه در معرض خطر جدی قرار گرفته و بسیاری از بیماری‌های غیر واگیردار به آلودگی هوای وابستگی مستقیم یا غیرمستقیم دارند [۴]. درنتیجه خطر مرگ زودرس، سلامت بسیاری را تهدید می‌کند. تنها در شهر تهران، بیش از یک‌سوم روزهای سال، شرایط هوا در حالت ناسالم گزارش می‌شود [۵]. از منظر مواجهه، متوسط غلظت سالانه تعدادی از آلاینده‌های مهم همچون O_3 ، CO ، SO_2 و $\text{PM}_{2.5}$ در تهران، همواره در حد ناسالم است و چندین برابر حدود توصیه شده سازمان بهداشت جهانی گزارش می‌شود [۵].

استفاده از ذرات پرتوزا طبیعی به عنوان ردیاب‌های محیطی برای مطالعه آلاینده‌های اتمسفری یکی از مطالعات کلیدی و مهم در انجام تحقیقات اتمسفری است. شاید یکی از مهم‌ترین مباحث مربوط به اتفاقاتی همچون انتشار ذرات هسته‌ای، میزان ماندگاری و پخش شدگی ذرات در اتمسفر منطقه است. اینکه ذرات بعد از خروج از منبع تولید تا چه میزان در اتمسفر معلق خواهند بود، یکی از پژوهش‌های حساس و فناوری‌های پیچیده است. این فناوری امکان پیش‌بینی میزان ماندگاری ذرات را در اتمسفر منطقه خواهد داد. پیشتر بر اساس بررسی میزان دوز ذرات پرتوزا در اتمسفر منطقه موردنظر، تصمیمات مقطوعی گرفته می‌شود. اما بالاطلاع از میزان ماندگاری ذرات اتمسفری در یک منطقه، شرایط انتشار آلاینده‌های پرتوزا را می‌توان پیش‌بینی و اقدامات بعدی را بهینه‌تر اجرا نمود. شهر تهران با توجه به دلایل متعدد از جمله جمعیت، ویژگی‌های جغرافیایی و همچنین داشتن راکتور

البته در خصوص محصول واپاشی ذرات رادیواکتیو در فعالیتهای هسته‌ای نیز مطالعات گستردۀ‌ایی صورت گرفته و با توجه به فعالیتهای هسته‌ای نظامی و غیرنظامی و همچنین اتفاقات پیش‌بینی‌نشده در انفجارات مراکز هسته‌ای نیاز به تحقیق و بررسی در این زمینه بیش از پیش احساس می‌شود [۱۴]. اورا و همکاران (۲۰۱۵)، به جمع‌آوری ذرات معلق در شرق ژاپن پرداخته و سزیم ۱۳۴ و سزیم ۱۳۷ را به صورت ساعتی با روش حجم بالا نمونه‌برداری کردند. نتایج حاصل از تحقیق آن‌ها نشان از بالا بودن غلظت این ذرات در اتمسفر دارد، که منشاء آن‌ها را با حادثه فوکوشیما در سال ۲۰۱۱ مرتبه می‌دانند [۱۵].

علی (۲۰۱۶)، به بررسی مواد پرتوزای مؤثر بر سلامت انسان در اتمسفر نقاط مختلف کشور مصر پرداخته و از محصولات رادون و تورون به عنوان دو ذره پرتوزای مهم که استنشاق آن‌ها بر ریه تأثیرات مخربی دارد، استفاده کرده است [۱۶].

در پژوهشی دیگر لوزانو و همکاران (۲۰۱۱)، غلظت بیسموت ۲۱۰ و سرب ۲۱۰ در اتمسفر را مورد ارزیابی قرار داده و زمان ۲۱۰ اقامت ذرات اتمسفری را براساس نسبت سرب ۲۱۰/پلوئنیم ۲۱۰ محاسبه کردند. آن‌ها برای محاسبه زمان اقامت از محصولات رادون ۲۲۲ استفاده کردند. زمان اقامت به دست آمده برای نسبت سرب ۲۱۰/بیسموت ۲۱۰ به طور مداوم از زمان اقامت سرب ۲۱۰/پلوئنیم ۲۱۰ کمتر بود. این موضوع به منابع غیر اصلی پلوئنیم ۲۱۰ و همچنین فروپاشی بیسموت ۲۱۰ نسبت داده شد. از این‌رو آن‌ها متوجه شدند که برای به دست آوردن زمان دقیق اقامت می‌باشد غلظت بیسموت ۲۱۰ و پلوئنیم ۲۱۰ به طور دقیق اندازه‌گیری و نسبت بین سرب ۲۱۰/بیسموت ۲۱۰ بیشتر از نسبت سرب ۲۱۰/پلوئنیم ۲۱۰ مورد توجه قرار گیرد [۱۷].

گروندا و پورستندروف (۲۰۰۴)، به بررسی تفاوت‌های توزیع اندازه فعالیتهای ذرات پرتوزای معلق در هوای پرداخته‌اند. آن‌ها از توزیع رادیونوکلئیدهای پلوئنیم ۲۱۸ و پلوئنیم ۲۱۴/بیسموت ۲۱۰ با فعالیتهای کوتاه‌مدت و سرب ۲۱۰ و پلوئنیم ۲۱۰ حاصل از واپاشی رادون و سرب ۲۱۲، پلوئنیم ۲۱۲ و بریلیوم ۷ حاصل از واپاشی تورون اتمسفر استفاده کردند. نتیجه بررسی آن‌ها نشان داد که علت اصلی توزیع این دو دسته از ذرات پرتوزا ترکیب آن‌ها با ذرات معلق اتمسفر بوده است [۱۸]. کراوفورد و همکاران (۲۰۱۶)، با استفاده از رادون در اتمسفر شهر ریچموند استرالیا ثبات ذرات معلق را ارزیابی و این موضوع را به صورت محلی بررسی کردند. نتایج این تحقیق نشان از وجود یک پایداری در غلظت ذرات معلق در طول شب و یک روند فرآینده در میزان غلظت در طول روز حکایت داشت. آن‌ها وجود وارونگی دمای در طول شب را عامل این شرایط دانستند [۱۹].

مala و همکاران (۲۰۱۶)، توزیع اندازه ذرات اتمسفری

تابستان کمتر از فصل پاییز و در نهایت برای فصل زمستان در پاییز ترین سطح بود. به طور کلی میزان نهشت بریلیوم ۷، سرب ۲۱۰ و سزیم ۱۳۷ در طول تابستان بیشتر بود و نسبت فعالیت سرب ۲۱۰/بریلیوم ۷ در طول زمستان و پاییز بالاتر از تابستان و بهار بود [۹].

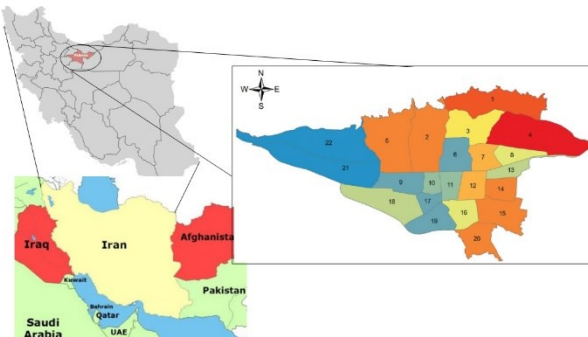
مala و همکاران (۲۰۱۵)، توزیع اندازه ذرات معلق در هوای بعد از حادث چرنوبیل و فوکوشیما را مورد بررسی قرار داده و در چند نقطه از کشور جمهوری چک نمونه‌برداری کردند. آن‌ها ذراتی همچون ^{137}Cs , ^{131}I , ^{134}Cs و ^{7}Be را در نمونه‌ها اندازه‌گیری کردند. نتایج کار آن‌ها از وجود غلظت ۳ برابری برخی از ذرات همچون ^{95}Zr , ^{140}La , ^{141}Ce , ^{144}Ce و ^{140}Ba در نمونه‌ها نسبت به ذراتی همچون ^{132}Te , ^{103}Ru , ^{131}I , ^{106}Ru و ^{137}Cs حکایت دارد. همچنین ذراتی همچون ^{134}Cs در حادثه فوکوشیما بیشتر بوده است [۱۰].

ایندرارا و همکاران (۲۰۱۶)، ترکیب و منشاء سرب رادیواکتیو در اتمسفر شهرهای صنعتی هند را مورد بررسی قراردادند. آن‌ها در شهر صنعتی کانپور هند با جمع‌آوری ذرات معلق در هوای ارزیابی آن‌ها پرداختند و با رדיابی و شناسایی منشاء و ترکیب سرب نمونه‌ها، توانستند مقدار سرب تولیدشده با منشاء فعالیتهای انسانی و منابع طبیعی را تفکیک کنند. آن‌ها پیش‌تر منشاء سرب را سوختن بنزین توسط وسایل نقلیه عنوان کرده بودند. از این‌رو این تحقیق در خصوص تعیین غلظت سرب تولیدی توسط منابع مختلف انجام شد.

یوانیدو و پاترور (۲۰۱۴)، توزیع اندازه قطر آئرودینامیکی و زمان اقامت ذرات معلق اتمسفر را واقع در مرکز تحقیقات قطری در فنلاند مورد بررسی قراردادند. نتایج کار آن‌ها مشخص کرد که محدوده اندازه قطر آئرودینامیکی بریلیوم ۷ بین ۰/۵۴ تا ۱/۰۵ میکرومتر (به طور متوسط ۰/۸۳ میکرومتر) بوده و مدت زمان اقامت برای این ذرات در اتمسفر در حدود ۸ روز تخمین زده شد. آن‌ها تراکم بالای رطوبت نسبی را در بالا بودن غلظت ذرات و مرتبط می‌دانند. آن‌ها در گزارش خودبین اندازه قطر ذرات و غلظت بریلیوم ۷ همبستگی معناداری را گزارش کردند ولی بین نرخ حذف ذرات ارتباط چندانی را عنوان نکردند [۱۱].

راپوتا (۲۰۱۳)، در پی حادثه فوکوشیما با بررسی غلظت ذرات معلق در ارتفاع و سطوح مختلف و مسیر انتقال آن‌ها به طراحی مدلی جهت شبیه‌سازی انتقال و پراکنش این ذرات پرداخته‌اند [۱۲]. گونز و همکاران (۲۰۱۴)، به بررسی نهشت خشک و مرطوب و ذرات پرتوزا از اتمسفر پرداخته و از دو ذره سزیم ۱۳۴ و سزیم ۱۳۷ با اندازه‌گیری غلظت آن‌ها در اتمسفر و سطح زمین در ۸۰ کیلومتری سایت فوکوشیما به دو مقدار که تفاوت معنی‌داری بین آن‌ها بود، دست یافتند [۱۳].

۷۳۰ کیلومتر مربع از شمال به ارتفاعات البرز، از سمت شرق به کوههای محدوده بی بی شهریانو و از جنوب به حاشیه شمالی کویر مرکزی ایران ختم می شود [۲۵]. در شکل (۱)، موقعیت جغرافیایی شهر تهران مشاهده می شود. احاطه شدن تهران از سمت شمال و شمال شرق توسط ارتفاعات، مانع از عبور بادهایی که از سمت غرب و جنوب می وزند، شده و باعث انشاگی آلیندهها بر روی سطح منطقه می گردد؛ درنتیجه پتانسیل آلودگی هوا در مرکز شهر را افزایش می دهد.



شکل (۱): موقعیت جغرافیایی منطقه مورد مطالعه

۲-۲- نمونه برداری

دسترسی آسان و سریع به آزمایشگاههای اندازه گیری، منع برق و ایستگاه پایش پارامترهای محیطی از شاخصه های ایستگاه نمونه برداری است [۲۶]. ایستگاه نمونه برداری از کل ذرات معلق توسط نمونه بردار حجم بالا (High Volume) در ارتفاع ۲ متری از سطح زمین صورت گرفت. با توجه شرایط موجود، مدت زمان نمونه برداری برای ۶ ساعت با جریان هوای متوسط ۱,۵ متر مکعب بر دقیقه در نظر گرفته شد. شکل (۲)، موقعیت جغرافیایی ایستگاه نمونه برداری را نشان می دهد. همچنین از فیلترهای با جنس الیاف شیشه ای (فایبر گلاس) در ابعاد ۲۰ در ۲۵ سانتیمتر با بازدهی ۹۹/۹۹ درصدی جهت نمونه برداری استفاده شد. فیلترها قبل و بعد از انجام نمونه برداری در آون خشک و با ترازوی دقیق وزن شدند. اختلاف وزن فیلترها قبل و بعد از نمونه برداری مقدار نمونه جمع آوری شده را نشان خواهد داد. با داشتن حجم هوای عبوری و مقدار نمونه خشک جمع آوری شده می توان غلظت ذرات معلق در منطقه را بر حسب جرم به حجم محاسبه کرد [۲۶].



شکل (۲): موقعیت ایستگاه نمونه برداری واقع در منطقه امیرآباد

تولید شده در معادن اورانیوم را در اتمسفر در منطقه ای در جمهوری چک بررسی نموده و از ۱۳ نقطه با روش آبشاری نمونه برداری شد. نتایج حاصل نشان از مشابه بودن توزیع اندازه در نقاط نمونه برداری داشت. بیشترین فراوانی در ذرات با قطر ۰/۵ میکرومتر بوده و بیشتر توزیع اندازه قطر آثرو دینامیکی ذرات به ترتیب بین $۵/۳$ و $۱۰/۵$ میکرومتر و انحراف از استاندارد نیز به ترتیب بین $۸/۲$ و $۰/۵$ میکرومتر بود [۲۰].

سو و همکاران (۲۰۱۷)، غلظت پلوئیم ۲۱۰ در ذرات اتمسفری را اندازه گیری کردند. آنها غلظت این رادیونوکلئید را در غلظت کل ذرات معلق $۰/۱$ تا $۰/۲$ و با میانگین $۰/۰۸$ میلی بکرل بر متر مکعب عنوان کردند. تغییر غلظت این رادیونوکلئید نسبت به پارامترهای محیطی و همچنین تعیین منشا از اهداف بررسی آنها بود [۲۱].

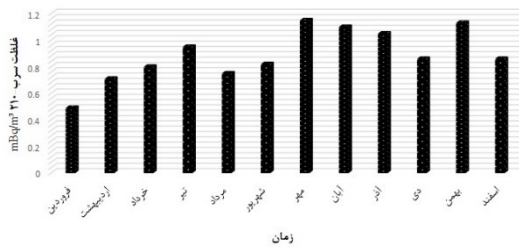
اویانگ و همکارانش (۲۰۱۷)، از برخی رادیونوکلئیدهای اتمسفری مانند سزیم و اورانیوم برای ردیابی آلودگی هوا استفاده کرده اند. به طوریکه این نوکلئیدها جهت سنجش دوز کشندگی در آلیندهای اتمسفری کاربرد دارد [۲۲]. در پژوهشی مشابه این پژوهشگران در سال ۲۰۱۸، با بررسی ذرات معلق حاصل از احتراق زغال سنگ به ردیابی پلوئیم ۲۱۰ پرداخته و در طول سال رصد کرده اند. این بررسی در نیروگاههای که اساساً کار آنها با سوت زغال سنگ است، صورت گرفت. آنها مقدار انتشار پلوئیم ۲۱۰ را $۱/۱۵$ میلی بکرل بر متر مکعب عنوان کردند [۲۳].

طی تحقیقی در شهر لوز، دلگوز (۲۰۱۵)، عنوان کردند که بالاترین مقدار سرب ۲۱۰ مربوط به نمونه های برداشتی در فصل زمستان است. آنها فراوانی سرب ۲۱۰ در فصل سرد سال را به استفاده از منابع و سیستم گرمایشی و همچنین نیروگاههای زغال سنگی مرتبط دانستند [۲۴].

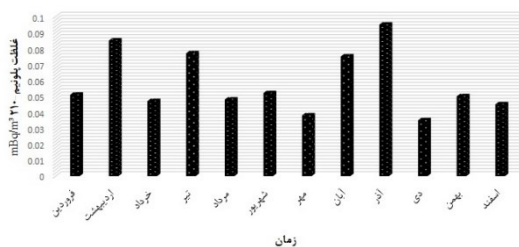
۲- روش تحقیق

۲-۱- محدوده مورد مطالعه

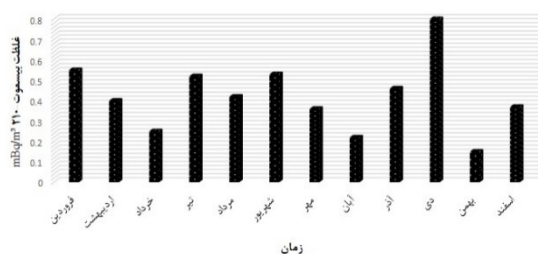
استان تهران با وسعتی حدود ۱۳/۶۸۸ کیلومتر مربع در شمال ایران و در جنوب بخش مرکزی رشته کوه البرز قرار دارد. این استان از شمال به استان مازندران، از جنوب به استان قم، از جنوب غربی به استان مرکزی، از غرب به استان البرز و از شرق به استان سمنان محدود می شود. شهر تهران بزرگ ترین و پر جمعیت ترین شهر ایران، مرکز این استان است. استان تهران که صنعتی ترین استان ایران است، از لحاظ تولید ناخالص داخلی در رتبه ۱ کشوری قرار دارد. همچنین سهم تولید ناخالص بخش کشاورزی ۱، صنعت ۲۲ و خدمات ۷۷ درصد بوده است. استان تهران همچنین مرکز تلاقی راه های ارتباطی ایران (خطوط راه آهن، جاده ای و هوایی) است. شهر تهران با وسعتی حدود



شکل (۳): میانگین غلظت ماهیانه سرب ۲۱۰ در دوره بررسی



شکل (۴): میانگین غلظت ماهیانه پلوئین ۲۱۰ در دوره بررسی



شکل (۵): میانگین غلظت ماهیانه بیسموت ۲۱۰ در دوره بررسی

یک روش برای تخمین زمان اقامت ذرات معلق اتمسفری حاوی رادیونوکلئیدهای محصول واپاشی رادن بر مبنای پرتوزایی یک جفت رادیوازوبار همراه ژنتیکی مانند سرب ۲۱۰ و بیسموت ۲۱۰ یا سرب ۲۱۰ و پلوئین ۲۱۰، مطابق با فروپاشی‌های متواتی در روند واپاشی بتا به شکل زیر می‌باشد [۲۷]:

(پایدار) سرب ۲۰۶ → پلوئین ۲۱۰ → بیسموت ۲۱۰ → سرب ۲۱۰

که بر اساس آن زمان اقامت، τ_R ، بوسیله معادله شماره (۱) تعریف می‌شود.

$$\tau_R = \frac{1}{\lambda_{Bi}} \cdot \frac{\lambda_{Bi} \cdot N_{Bi}}{1 - \frac{\lambda_{Bi} \cdot N_{Bi}}{\lambda_{Pb} \cdot N_{Pb}}} \quad (1)$$

که در آن λ_{Bi} . N_{Bi} . λ_{Pb} . N_{Pb} پرتوزایی بیسموت ۲۱۰ و پرتوزایی سرب ۲۱۰ در هوای $d-1$ ثابت واپاشی بیسموت ۲۱۰ است [۲۷].

با توجه به اینکه غلظت ذرات معلق پرتوزا در اتمسفر خیلی کم و در حد میکروگرم بر مترمکعب است، آنالیز و شمارش آنها مستلزم این است که حجم وسیعی از هوا را از بستر غشائی یا همان فیلتر عبور داده و ازنظر وزنی بخش قابل توجهی از ذرات معلق را بتوانیم جهت آنالیز جمع آوری نماییم. این کار به روش فعال و استفاده از پمپ‌ها قوی حجم بالا صورت خواهد گرفت [۲۷]. در این پژوهش جهت نمونه‌برداری از کل ذرات معلق اتمسفری^۱ از نمونه‌بردار حجم بالای هوا در مدت زمان‌های متفاوت ۶ الی ۱۲ ساعت استفاده شد. قبل از استفاده از فیلترها باید جهت گرفتن رطوبت، آنها را به مدت ۲۴ ساعت در حرارت 10.5°C در آون قرار داده و جهت نصب روی دستگاه آماده می‌کنیم. پس از نمونه‌برداری مجدداً فیلتر در کوره 10.5°C برای ۲۴ ساعت رطوبت خود را از دست می‌دهد و بهروش قبل توزین می‌شود [۲۸]. اختلاف وزن اولیه و ثانویه فیلتر، میزان ذرات معلق جمع آوری شده را نشان می‌دهد [۲۹].

۳- نتایج و بحث

با توجه به تعداد نمونه‌های برداشت شده برای هر فصل، بین دو تا سه نمونه در هر ماه مورد آنالیز و میانگین نتایج هر ماه ارائه شده است. میانگین غلظت ماهیانه سرب ۲۱۰ برای کل دوره بررسی، در شکل (۳) ارائه شده است. بر اساس این نتایج، بیشترین مقدار اندازه‌گیری شده برای سرب ۲۱۰ در مهرماه با $1/25$ mBq/m^3 بود. متوسط غلظت برای این پارامتر در حدود $1/89$ mBq/m^3 ثبت شد. نتایج نشان از افزایش نسبی در مقدار $1/42$ mBq/m^3 برای فروردین ماه دوره بررسی با غلظت این متغیر برای فروردین و اردیبهشت‌ماه و کاهش نسبی برای شهریور و دی‌ماه دارد. میانگین غلظت پلوئین ۲۱۰ برای کل دوره در حدود $1/0.58$ mBq/m^3 بود. این در حالی است که مقدار $1/0.32$ mBq/m^3 در آذرماه و $1/0.95$ mBq/m^3 در دی‌ماه به ترتیب به عنوان بیشترین و کمترین غلظت اندازه‌گیری شده برای این رادیونوکلئید بود. نتایج حاصل از اندازه‌گیری پلوئین ۲۱۰ برای کل دوره بررسی در شکل (۴) ارائه شده است. همین روند برای بیسموت ۲۱۰ نیز با میانگین کلی $1/42$ mBq/m^3 برای دوره بررسی مشاهده شد. بیشترین و کمترین مقدار اندازه‌گیری شده برای این رادیونوکلئید در کل دوره مورد بررسی به ترتیب $1/0.85$ mBq/m^3 و $1/18$ mBq/m^3 بود. نتایج میانگین غلظت ماهیانه برای نوکلئید پرتوزایی بیسموت ۲۱۰ در شکل (۵) نشان داده شده است.

^۱ Particulate Matter

۲۱۰ و پلونیم ۲۱۰ را نشان می‌دهد.

جدول (۲): زمان اقامت ذرات پرتوزا بر اساس نسبت سرب ۲۱۰/پلونیم ۲۱۰.

زمان ماندگاری (روز)	زمان
۲۱/۵	فrorدين
۱۹/۴	اردیبهشت
۱۷/۸	خرداد
۲۲/۵	تیر
۲۰/۶	مرداد
۱۹/۷	شهریور
۲۱/۴	مهر
۱۹/۵	آبان
۱۸/۷	آذر
۱۷/۸	دی
۲۰/۴	بهمن
۲۲/۳	اسفند

در تحقیقی، باسکاران و شاو (۲۰۰۱) بر مبنای نسبت پرتوزا ای سرب ۲۱۰ و بیسموت ۲۱۰، زمان اقامت ذرات منطقه قطب شمال را بین ۱۲ تا ۳۲ روز از ۲ نمونه اندازه‌گیری انجام شده تخمین زدند [۳۱]. همچنین لهمان و سیتکوس (۱۹۵۹) زمان اقامت ذرات را بر مبنای نسبت پرتوزا ای سرب ۲۱۰ و پلونیم ۲۱۰ در اتمسفر فریبرگ آلمان ۲۰ روز تخمین زدند [۳۲]. در حالی که پیرسون و همکاران (۱۹۶۶) زمان اقامت ذرات را بر همین مبنای در ولز ۴۰ روز تخمین زدند [۳۳].

با پاسفانو و بوندی (۱۹۹۱) زمان ماندگاری ذرات در اتمسفر را بر مبنای سرب ۲۱۰ و بیسموت ۲۱۰ با تعداد ۲۱ نمونه اندازه‌گیری شده طی یک دوره یکساله در اکریج تنیسی^۱ واقع در عرض‌های معتدل با بارندگی زیاد (آب و هوای مرطوب) ۴/۸ تا ۱۵/۳ روز (متوسط ۸/۲ روز) تخمین زدند [۳۴]. در پژوهش دیگری، پوت و همکاران (۱۹۷۲) محدوده زمان اقامت را ۱/۵۹ تا ۱۳ روز (متوسط ۵/۴ روز) بر مبنای نسبت پرتوزا ای بر مبنای سرب ۲۱۰ و بیسموت ۲۱۰ با ۱۱ تا ۷۷ روز (متوسط ۴/۸ روز) بر مبنای نسبت پرتوزا ای بر مبنای سرب ۲۱۰ و پلونیم ۲۱۰ با انجام ۲۰ نمونه برداری در هوای سطحی در طول یک دوره ۴/۵ ساله در منطقه بولدر کلورادو تخمین زدند [۳۵].

فرانسیس و همکاران (۱۹۷۰) در طول یک دوره سه ماهه در

چنانچه پرتوزا ای پلونیم ۲۱۰، در هوا $\lambda_{P_0} N_{P_0}$ مد نظر قرار گیرد و ثابت واپاشی پلونیم ۲۱۰ برابر $\lambda_{P_0} = 5.0 \times 10^{-3} \text{d}^{-1}$ است، آنگاه نسبت پرتوزا ای پلونیم ۲۱۰ و سرب ۲۱۰ بوسیله معادله شماره ۲ زیر محاسبه می‌شود [۲۷]:

$$\frac{\lambda_{P_0} \cdot N_{P_0}}{\lambda_{Pb} \cdot N_{Pb}} = \frac{\tau_R^2}{\left(\tau_R + \frac{1}{\lambda_{Bi}}\right) \cdot \left(\tau_R + \frac{1}{\lambda_{P_0}}\right)} \quad (2)$$

جدول (۱) میانگین ماهیانه زمان اقامت نوکلئیدهای پرتوزا را بر مبنای سرب ۲۱۰ و بیسموت ۲۱۰ را نشان می‌دهد. براساس این نتایج میانگین زمان اقامت ذرات اتمسفری بر مبنای سرب ۲۱۰ و بیسموت ۲۱۰ در ایستگاه نمونه برداری ۱۰/۵ روز تخمین زده شد. این درحالی است که بیشترین و کمترین مدت زمان اقامت این ذرات به ترتیب ۲۱/۵ و ۷/۲ روز بود. با توجه به میانگین ماهیانه زمان اقامت، دیماه و اسفندماه به ترتیب به عنوان بیشترین و کمترین تخمین زده شد.

جدول (۱): زمان اقامت ذرات پرتوزا بر اساس نسبت سرب ۲۱۰/بیسموت ۲۱۰

زمان ماندگاری (روز)	زمان
۹/۵	فrorدين
۷/۷۵	اردیبهشت
۷/۸	خرداد
۸/۱	تیر
۱۲/۵	مرداد
۱۱/۶	شهریور
۱۲/۴	مهر
۷/۲۳	آبان
۸/۱	آذر
۲۱/۵۶	دی
۱۱/۳	بهمن
۷/۸۵	اسفند

جهت تخمین زمان اقامت ذرات بر اساس نسبت پرتوزا ای سرب ۲۱۰ و پلونیم ۲۱۰، مور و همکاران (۱۹۷۲) این مقدار را بین ۰/۰۵۴ تا ۰/۰۹۲ در نظر گرفتند [۳۰]. نسبت پرتوزا ای سرب ۲۱۰ و پلونیم ۲۱۰ در این تحقیق بین ۰/۰۷۹ تا ۰/۰۵۵ محاسبه شد. طبق این نتایج میانگین زمان اقامت ذرات معلق ۲۰/۱ روز تخمین زده شد. بر این اساس تیرماه با میانگین ۲۲/۵ روز و دیماه ۱۷/۸ روز به عنوان بیشترین و کمترین زمان اقامت اندازه‌گیری شده در این کار پژوهشی تخمین زده شد. جدول (۲)، نتایج حاصل از بررسی زمان اقامت ذرات بر مبنای نسبت سرب

^۱ Oak Ridge, Tennessee

حاکم در منطقه و همچنین نتایج مربوط به میزان ماندگاری ذرات اتمسفری، در صورت بروز هرگونه حادثه‌ای، تهدیدات نظامی و یا نشت ذرات رادیواکتیو در راکتور تحقیقاتی تهران، میزان در تماس بودن آلاینده‌های اتمسفری در سطح شهر تهران تا چه مدتی خواهد بود. با این استدلال می‌توان در موضوع مدیریت بحران احتمالی بهترین تصمیم را اتخاذ نمود. با توجه به نتایج به دست آمده در این پژوهش، انتشار آلاینده‌های پرتوی در ماههای همچون دی و مرداد میزان تأثیر انسانی بیشتری را می‌تواند در منطقه داشته باشد. این در حالی است که وجود این رویداد در ماههای تیر و آذر در دراز مدت تأثیر کمتری را خواهد داشت.

۵- مراجع

- [1] WHO 2014. Burden of disease from ambient and household air pollution.
- [2] D. Loomis, Y. Grosse, B. Lauby-Secretan, F. El Ghissassi, V. Bouvard, L. Benbrahim-Tallaa, N. Guha, R. Baan, H. Mattock, and K. Straif, "The carcinogenicity of outdoor air pollution," *The lancet oncology*, vol. 14(13), pp. 1262-1263, 2013.
- [3] K. M. Nadafi and M. Natipour, "Examining Jurjani's point of view on air pollution and water purification in the book of Kharazmshahi's storage," *Journal of Medical Ethics and History*, vol. 3, pp. 28-20, 2010. (In Persian)
- [4] WHO., "Ambient (outdoor) air quality and health," 2015. Available from: <http://www.who.int/mediacentre/factsheets/fs313/en/>
- [5] Air Quality Control Company 2019. Annual Report of Tehran Air Quality in 2016: QM97/02/01(U) May 2017 (In Persian)
- [6] K. Ram and M. M. Sarin, "Atmospheric 210Pb, 210Po and 210Po/210Pb activity ratio in urban aerosols: temporal variability and impact of biomass burning emission," International meteorological institute in Stockholm, 17513, 2012.
- [7] Longbo et al., "Monitoring of atmospheric radionuclides from the Fukushima nuclear accident and assessing their impact on Xi'an, China," *Atmospheric Science*, vol. 58, no. 13, pp. 1585-1591, 2013.
- [8] T. Christoudias, Y. Proestos, and J. Lelieveld, "Atmospheric Dispersion of Radioactivity from Nuclear Power Plant Accidents: Global Assessment and Case Study for the Eastern Mediterranean and Middle East," *Energies*, vol. 7, pp. 8338-8354, 2014.
- [9] M. Pham, P. Povinec, H. Nies, and H. Betti, "Dry and wet deposition of ^{7}Be , 210Pb and ^{137}Cs in Monaco air during 1998-2010: Seasonal variations of deposition fluxes," *Journal of Environmental Radioactivity*, vol. 120, pp. 45-57, 2013.
- [10] H. Malá, P. Rulík, V. Bečková, J. Mihálík, and M. Slezáková, "Particle size distribution of radioactive aerosols after the Fukushima and the Chernobyl accidents [2013]," *Journal of Environmental Radioactivity*, vol. 126, pp. 92-98, 2015.
- [11] A. Ioannidou and J. Paatero, "Activity size distribution and residence time of ^{7}Be aerosols in the Arctic atmosphere," *Atmospheric Environment*, vol. 88, pp. 99-106, 2014.
- [12] W. F. Raputa, "Numerical analysis of aerosol radionuclide fall-outs from accident outbursts into the atmosphere," *Bull. Comp. Center.*, pp. 1-8, Nov. 2013.
- [13] M. Gonze, P. Renaud, I. Korsakissok, H. Kato, T. G. Hinton, C. Mourlon, and M. Simon-Cornu, "Ssessment of Dry and Wet Atmospheric Deposits of Radioactive Aerosols: Application to Fukushima Radioactive Fallout," *Environ. Sci. Technol.*, vol. 48(19), pp. 11268-11276, 2014.
- [14] M. Kurdi and M. Saadati, "Nuclear defense and its effect on reducing contamination of radioactive substances in farm animals and livestock products," *Passive defense magazine*, vol. 12(1), pp. 21-34, 2022. (In Persian)

مادیسون ۱ میانگین زمان اقامت ذرات اتمسفری را ۹/۶ روز بر مبنای نسبت‌های پرتوزایی سرب ۲۱۰ و پلوئیم ۲۱۰ برای ذرات بزرگتر از ۰/۲۲ میکرومتر تخمین زندن [۳۶]. مارلی و همکاران (۲۰۰۰) زمان اقامت را برای هفت نمونه جمع شده در ایالت ایلینویز در طول یک دوره دو ساله، ۳ نمونه جمع شده در ایالت آریزونا، یک نمونه جمع شده در ایالت نیومکزیکو و ۵ نمونه جمع شده در مکزیک تخمین زندن. آنها زمان اقامت ذرات را بر مبنای نسبت سرب ۲۱۰ و بیسموت ۲۱۰، ۶۷-۶۷ روز و بر مبنای نسبت سرب ۲۱۰ و پلوئیم ۲۱۰ و ۳۳-۶۶ روز تخمین زندن [۳۷]. نتایج این تحقیقات با نتایج حاصل از این تحقیق هم راستا بوده و اختلاف معناداری در گستره نتایج به چشم نمی‌خورد، هرچند با توجه به ماهیت کار وابستگی به متغیرهای محیطی، وجود تفاوت در نتایج امری اجتناب ناپذیر است. در تحقیق حاضر، مقادیر میانگین زمان اقامت برای کل ذرات معلق (PM) بر مبنای نسبت پرتوزایی سرب ۲۱۰ و بیسموت ۲۱۰ برابر ۲۱۰/۵۶-۲۱۰/۷ روز و بر مبنای نسبت پرتوزایی سرب ۲۱۰ و پلوئیم ۲۱۰ برابر ۱۷/۸ روز تخمین زده شد.

۴- نتیجه‌گیری

بر اساس نتایج به دست آمده، بیشترین مقدار اندازه‌گیری شده برای سرب ۲۱۰ در مهرماه با $1/15 \text{ mBq/m}^3$ بود. میانگین کل دوره برای این رادیونوکلئید در حدود $0/88 \text{ mBq/m}^3$ اندازه‌گیری شد که کمترین مقدار آن در فروردین ماه در حدود $0/49 \text{ mBq/m}^3$ بود. میانگین غلظت اندازه‌گیری شده برای پلوئیم ۲۱۰ در کل دوره بررسی در حدود $0/058 \text{ mBq/m}^3$ بود؛ که بیشترین غلظت آن با مقدار $0/095 \text{ mBq/m}^3$ در آذرماه و کمترین غلظت اندازه‌گیری شده برای این رادیونوکلئید با مقدار $0/035 \text{ mBq/m}^3$ در دی ماه به ثبت رسید. همین روند برای بیسموت ۲۱۰ نیز با میانگین کلی $0/41 \text{ mBq/m}^3$ در دوره بررسی مشاهده شد. بیشترین و کمترین مقدار محاسبه شده برای این رادیونوکلئید در کل دوره بررسی به ترتیب $0/08 \text{ mBq/m}^3$ و $0/15 \text{ mBq/m}^3$ بود.

بر اساس نتایج به دست آمده از محاسبه‌ی میانگین زمان اقامت ذرات اتمسفری بر مبنای سرب ۲۱۰/بیسموت ۲۱۰؛ مدت زمان $10/46$ روز برای ماندگاری این ذرات در جو تخمین زده شد. این در حالی است که بیشترین و کمترین مدت زمان اقامت این ذرات به ترتیب $21/56$ و $7/23$ روز بود. همچنین میانگین مدت زمان اقامت ذرات اتمسفری بر مبنای سرب ۲۱۰/پلوئیم ۲۱۰، $20/14$ روز تخمین زده شد. با توجه به شرایط اقلیمی

¹ Madison, Wisconsin

- Organization of Iran, 2004.(In Persian)
- [26] B. Oroji, "Risk assessment radioactive aerosols with determination residence times in the atmosphere's Tehran," Iran, Ph.D. Thesis. Malayer University, p. 246 , 2019.
- [27] C. Papastefanou, "Radioactive Aerosols," ELSEVIER. 187 p., 2008.
- [28] C. Papastefanou, "Beryllium-7 Aerosols in Ambient Air," Papastefanou, *Aerosol and Air Quality Research*, vol. 9(2), pp. 187-197, 2009.
- [29] C. Papastefanou, "Residence time of tropospheric aerosols in association with radioactive nuclides," *Applied Radiation and Isotopes*, vol. 64(1), pp. 93–100, 2006.
- [30] H. E. Moore, S. E. Poet, and E. A. Martell, "Tropospheric aerosol residence times indicated by radon and radondaughter concentrations," In: Adams, J.A.S., Lowder,W.M., Gessel, T.F. (Eds.), *Natural Radiation Environment II*. Technical Information Center/U.S. Department of Energy, Washington, DC, CONF-720805-P2, pp. 775–786, 1972.
- [31] M. Baskaran and G. E. Shaw, "Residence time of arctic haze aerosols using the concentrations and activity ratios of ^{210}Po ," ^{210}Pb and ^{7}Be , *Journal of Aerosol Science*, vol. 32(4), pp. 443–452, 2001.
- [32] L. Lehmann and A. Sittkus, "Bestimmung von Aerosolverweilzeiten aus den RaD und RaF Gehalt der atmosphärischen Luft und des Niederschlages," *Naturwissenschaft*, vol. 46, pp. 9–10, 1959.
- [33] D. H. Peirson, R. S. Cambray, and G. S. Spicer, "Lead-210 and polonium-210 in the atmosphere," *Tellus* 18, pp. 427–433, 1966.
- [34] C. Papastefanou and E. A. Bondietti, "Mean residence times of atmospheric aerosols in the boundary layer as determined from $^{210}\text{Bi}/^{210}\text{Pb}$ activity ratios," *J. Aerosol Sci.*, vol. 22, pp. 927–931, 1991.
- [35] S. E. Poet, H. E. Moore, and E. A. Martell, "Lead-210, bismuth-210 and polonium-210 in the atmosphere: Accurate ratio measurement and application to aerosol residence time determination," *J. Geophys. Res.*, vol. 77(33), pp. 6515–6527, 1972.
- [36] C. W. Francis, G. Chesters, and L. A. Haskin, "Determination of ^{210}Pb mean residence time in the atmosphere," *Environ. Sci. Technol.*, vol. 4 (7), pp. 586–589, 1970.
- [37] N. A. Marley, O. S. Gaffney, P. J. Drayton, M. M. Cunningham, K. A. Orlandini, and R. Paode, "Measurement of ^{210}Pb , ^{210}Po and ^{210}Bi in size-fractionated atmospheric aerosols: An estimate of fine-aerosol residence times," *Aerosol Sci. Technol.*, vol. 32, pp. 569–583, 2000.
- [15] Y. Oura, M. Ebihara, H. Tsuruta, T. Nakajima, T. Ohara, M. Ishimoto, H. Sawahata, Y. Katsumura, and W. Nittae, "A Database of Hourly Atmospheric Concentrations of Radiocesium (^{134}Cs and ^{137}Cs) in Suspended Particulate Matter Collected in March 2011 at 99 Air Pollution Monitoring Stations in Eastern Japan," *Journal of Nuclear and Radiochemical Sciences*, vol. 15(2), pp. 1-12, 2015.
- [16] A. E. Ali, "Studies on the effect of atmospheric radioactive materials on human being in different places of Egypt," *International Journal of Research in Applied, Natural and Social Sciences ISSN (E)*, 2321-8851; ISSN (P): 2347-4580, vol. 4(3), pp. 63-66, 2016.
- [17] R. L. Lozano, E. G. San Miguel, and J. P. Bolívar, "Assessment of the influence of in situ ^{210}Bi in the calculation of in situ ^{210}Po in air aerosols: Implications on residence time calculations using $^{210}\text{Po}/^{210}\text{Pb}$ activity ratios," *Journal of Geophysical Research*, vol. 116, 2011.
- [18] M. Grundela and J. Porstendorfer, "Differences between the activity size distributions of the different natural radionuclide aerosols in outdoor air Atmospheric Environment," vol. 38, pp. 3723–3728, 2004.
- [19] J. Crawford, S. Chambers, D. Cohen, A. Williams, A. Griffiths, and E. Stelcer, "Assessing the impact of atmospheric stability on locally and remotely sourced aerosols at Richmond, Australia," using Radon-222, *Atmospheric Environment*, vol. 127, pp. 107–117, 2016.
- [20] H. Mala, L. Tomasek, P. Rulik, V. Beckova, and J. Hulká, "Size distribution of aerosol particles produced during mining and processing uranium ore, *Journal of Environmental Radioactivity*, vol. 157, pp. 97–101, 2016.
- [21] L. L. Su, G. Q. Liu, M. X. Ding, J. P. Feng, H. Zhang, "A study of ^{210}Po in atmospheric aerosol of Shenzhen and its committed effective dose," *China, Environ. Sci.*, vol. 37, pp. 2025–2028, 2017. (Article in Chinese with English abstract)
- [22] J. Ouyang, G. Yang, L. Ma, M. Luo, and D. Xu, "Development and Application of Fingerprints of Radioactive Cesium-Plutonium-Uranium Isotopes as Tracers in Air Pollution," *Progress in Chemistry*, vol. 29(12), pp. 1446-1461, 2017.
- [23] J. Ouyang, L. J. Song, L. L. Ma, M. Luo, Y. Shao, X. X. Dai, G. S. Yang, Y. G. Yang, M. Y. Luo, and D. D. Xu, "Temporal variations, sources and tracer significance of Polonium-210 in the metropolitan atmosphere of Beijing," *China, Atmospheric Environment*, vol. 193, pp. 214-223, 2018.
- [24] M. Dlugosz-Lisiecka, "Excess of 210-polonium activity in the surface urban atmosphere," Part (1) fluctuation of the ^{210}Po excess in the air. *Environmental Science: Processes & Impacts*, vol. 17(2), pp. 458-464, 2015.
- [25] P. Amini and A. Emami, "Report of one hundred thousand sheets of Tehran Plain," *Geological and Mineral Exploration*